

بررسی آزمایشگاهی دیوار خشتمی با ملات مسلح شده با کاه تحت کشش قطری

مهمنگی عمران شریف، (پیزد ۱۳۹۵) دوری ۲ - ۳، شماره ۲/۳، ص. ۶۵-۷۳

اصغر وطنی استووبی* (دانشیار)

محمد افضلی (دانشجوی کارشناسی ارشد)

محمد رضا مددی بور (دانشجوی کارشناسی ارشد)

دانشکده هندسی عمران، دانشگاه تربیت دبیر شهید رجایی

علی بخشی (دانشیار)

دانشکده هندسی عمران، دانشگاه صنعتی شریف

در این نوشتار عملکرد آزمایشگاهی دیوار خشتمی با درصد های مختلف الیاف کاه در ملات تحت بار استاتیکی قطری مورد بررسی قرار گرفته است. تعداد ۱۲ عدد دیوار با انواع مختلف ملات (ملات معمولی، ملات مسلح شده با درصد های وزنی: ۰٪، ۴٪، ۶٪، ۰٪، ۸٪ و ۱۲٪ ایل کاه) با خشتم غیر مسلح در ابعاد $22 \times 120 \times 120$ سانتی متر ساخته شده اند. دیوارها تحت بار فشاری قطری با رگذاری شده اند تا نوع ترک ها، نیروی نهایی، تعییر شکل نهایی، و جذب انرژی آن ها به دست آید. در دیوارهای با ملات مسلح شده با ۸٪ کاه، مقدار نیرو به اندازه ۷۸٪ و جذب انرژی دیوارهای مذکور به اندازه ۲۲٪ بیشتر از دیوارهای با ملات ساده و غیر مسلح بوده است. نتایج نشان داده اند که می توان از افزودنی کاه به عنوان تسلیح کننده در ملات دیوارهای خشتمی استفاده کرد، تا رفتار سازه بهبود بخشدیده شود.

vatani@srttu.edu
afzali.m64@gmail.com
reza9058@yahoo.com
bakhshi@sharif.edu

واژگان کلیدی: خشتم، آزمایش کشش قطری، کاه، ملات، دیوار خشتمی.

۱. مقدمه

در زلزله هایی که در چند سال اخیر در ایران و سایر نقاط جهان رخ داده است، ساختمنهای خشتمی خسارت جانی و مالی زیادی داشته است. بیو آین نامه و استانداردی برای طراحی ساختمنهای خشتمی از جمله موارد دیگری است که نیاز به مطالعه دیوارهای خشتمی جهت بررسی رفتار این دیوارها را دو چندان می کند. عمدۀ ساختمنهای واقع در مناطق روستایی ایران را ساختمنهای خشتمی و گلی تشکیل می دهند، که به دلایل: سقف سنگین و متعاقب آن افزایش شتاب زلزله، عدم یک پارچگی کافی سقف با دیوارها، و نامشخص بودن اتصال اجراء سازه بی به یکدیگر، و مقاومت ناکافی ملات این گونه ساختمنهای را عموماً با خسارت های جدی مواجه کرده است. همچنین نامشخص بودن اجراء سازه بی و نوع مصالح مصرف شده از پکسو و عدم تطابق ساختمنهای موجود با مدل های کلاسیک سازه بی نظری قاب های گیردار و غیره از سوی دیگر، تخمین مقاومت لرزه بی این ساختمنهای را بسیار دشوار می کند. براساس آمار، ۷۵٪ از واحدهای مسکونی موجود در کشور بی دام، و کم دام هستند که در هنگام زلزله، ساکنان ساختمنهای حتی مهلتی برای فرار و خارج شدن از ساختمان را نیز به دست نمی آورند.^[۱]

اصلی ترین دلایل برای استفاده از خشتم را می توان در این موارد خلاصه کرد:^[۲]

الف) ماده بی که در همه جا در دسترس است؛ (ب) برای تولید خشتم و سازه های خشتمی، مهارت و تکنولوژی بالایی موردنیاز نیست؛ (پ) تعییر و نگه داری سازه های خشتمی، نیاز به آزمایشگاه خاصی ندارد؛ و (ت) خواص ذاتی خاک، آن را عایق صدا و گرمایی سازد.^[۳] علاوه بر موارد فوق، عدم دسترسی به مصالح نوین و اقتصاد خانواده در نقاط دور دست باعث شده است هنوز در نقاط زیادی، استفاده از این گونه مصالح رایج باشد.

مقاومت جانبی یک سازه خشتمی از رفتار برشی درون - صفحه دیوارهای خشتمی به دست می آید. علاوه بر این، رفتار سازه های خشتمی به صورت برون - صفحه، از نوع خمی است.^[۴] در مناطق با لرزه خیزی زیاد، فقدان سختی درون - صفحه و برون - صفحه دیوارهای خشتمی خطر بزرگی برای ساکنان است.^[۵] از آنجایی که سازه های خشتمی مقاومت و شکل پذیری کافی ندارند، پایداری یک سازه خشتمی

ساختم و سازه های خشتمی و گلی در نقاط مختلف دنیا و از جمله در کشور ما، ایران، به دلایل مزایای زیاد آن رواج بسیاری دارد. سازگاری مناسب، اقتصادی بودن

* نویسنده مسئول

تاریخ: دریافت ۲۵/۶/۱۳۹۳، اصلاحیه ۱۸/۱۲/۲۵، پذیرش ۱۳۹۳/۱۲/۲۵.

است علاوه بر هنگام ساخت، در بهسازی و مقاوم سازی دیوارهای خشتی نیز از ملات با کاه استفاده شود.

۲. روش آزمایش

۱.۲. مصالح

برای ساخت خشت از رس، ماسه، و شن استفاده شده است، تا مشابه مصالح موجود در دسترس برای ساخت خشت باشد.

در خشت، سنگ‌دانه (شن و ماسه) نقش پرکننده و جلوگیری از انقباض و ترک خوردن خشت را دارد و از آب برای روان‌کردن و مخلوط کردن مواد با یکدیگر استفاده می‌شود.

۱.۱.۲. خاک رس

برای تهیه خشت و ملات از یک نوع خاک رس استفاده شده است. مشخصات خاک رس با توجه به آزمایش‌های انجام شده در جدول ۱ ارائه شده است. آزمایش‌های انجام شده بر روی خاک رس بر طبق استاندارد ASTM کد D ۴۲۰ انجام شده است. بر طبق طبقه‌بندی سیستم متعدد برای خاک، خاک از نوع رسی با خاصیت خمیری پائین (CL) بوده است.

تحقیقات هوبن، حد روانی خاک تثبیت نشده را بین ۲۵ - ۵۰ درصد ۳۰ - ۳۵ درصد بهتر است) بیان کرده و حد خمیری را بین ۱۰ - ۲۵ درصد ۲۲-۱۲ درصد بهتر است) بیان کرده است. همچنین شاخص حالت خمیری، که نشان‌گر ویژگی و فعالیت رس است، را کمتر از ۶٪ بیان کرده است، مطالعات اخیر مقدار بالاتر را نیز مجاز دانسته‌اند.^[۱۷]

۲.۱.۲. سنگ‌دانه

سنگ‌دانه استفاده شده در خشت، ماسه و شن است. مشخصات ماسه و شن در جدول ۲ ارائه شده است. رطوبت ماسه و شن به ترتیب در هنگام استفاده در خشت برابر با ۱/۵۳ و ۲/۴ درصد بوده است. از استاندارد ASTM با عنوان ثابت C۵۶۶ برای انجام آزمایش‌های سنگ‌دانه استفاده شده است.^[۱۸]

۲.۳. کاه

مشخصات کاه مورد استفاده در ملات در جدول ۳ ارائه شده است. وجود کاه باعث اتصال دانه‌های خاک به یکدیگر شده است، در واقع همانند آرماتور در بتن، دانه‌های رس و ماسه را به هم نگه داشته است و مانع از ترک خوردن آن‌ها می‌شود.^[۲۰] برای انجام آزمایش کشش کاه، مستقیماً الیاف در زیر دستگاه کششی قرار داده شده‌اند.

جدول ۱. مشخصات خاک رس مورد استفاده در خشت و ملات.

پارامتر	واحد	مقدار
وزن مخصوص خاک	KN/m³	۲,۷
مقدار رطوبت	%	۳,۷
حد روانی (LL)	%	۲۹
حد خمیری (PL)	%	۱۶,۹۴
حد انقباض (SL)	%	۱۲,۵۹
نشانه‌ی خمیری (PI)	%	۱۲,۰۶
نشانه‌ی روانی (LI)	%	-۱,۱۰
نشانه‌ی غلظت (CI)	%	۲۱,۰

معمولی و بدون تقویت بعد از یک زلزله‌ی شدید ممکن نیست.^[۱۹] پناهای افزایش مقاومت مناسب، یک پارچگی، و اتلاف انرژی در دیوارهای خشتی، یک مسئله‌ی بحرانی تحت بارهای شدید لرزه‌ی شده است.

برای افزایش مقاومت و بهبود رفتار دیوارهای خشتی مطالعاتی بر روی رفتار و خواص خشت شده است، که روش‌های مختلفی را برای افزایش مقاومت فشاری خشت مورد استفاده قرار داده‌اند.^[۱۱-۱۸]

آینه‌نامه‌ی نیوزلند (NZ ۴۲۹۷)، مدل یانگ E = ۲۰۰ MPa، نسبت پواسون $\nu = ۰,۵۷$ و بیشینه‌ی تنش فشاری $\sigma_c = E/۳۰$ را توصیه کرده است. براساس

مطالعات واریوم و همکاران، بیشینه‌ی تنش کششی را می‌توان ۲۰٪ مقاومت فشاری در نظر گرفت و برای تنش برشی مجاز نیز فرمول‌های ۱ و ۲ را توصیه کرده‌اند.^[۱۹]

$$\tau = ۰,۵۷ \times \sigma_c \quad (1)$$

$$\tau = ۷۰ + ۵ \times H \text{ (kPa)} \quad (2)$$

که در آن‌ها، H نشان‌دهنده ارتفاع دیوار بر حسب متر و σ مقاومت فشاری است. استفاده از میله‌گردی‌های افقی و قائم در ساختار دیوارهای خشتی در پژوهشی در سال ۲۰۰۳ مورد مطالعه قرار گرفته است، که موجب بهبود رفتار درون - صفحه و برون - صفحه شده است.^[۲۰] در پژوهش دیگری (۲۰۰۳) نیز برای بهسازی دیوار از تور در بین ملات گوشه‌های دیوار استفاده شده است.^[۲۱]

بسیاری از مواد طبیعی در دسترس (مانند: الیاف کتف، الیاف کاه و جو، بامبو، چوب، برگ خرما، الیاف نارگیل، پنبه، و چمن) که به عنوان تقویت‌کننده به خاک اضافه شده‌اند، خواص مهندسی خاک را بهبود بخشیده‌اند.^[۲۱-۲۴] قدریمی ترین مثال از کامپوزیت‌ها مربوط به افزودن کاه به گل جهت تقویت گل و ساخت آجری مقاوم جهت استفاده در بناها بوده است. قدمت این کار به ۴۰۰۰ سال قبل از میلاد مسیح باز می‌گردد. در این مورد کاه نقش تقویت‌کننده و گل نقش زمینه‌ی ماتریس را دارد. ارگ بم، که شاهکار معماری ایرانیان بوده است، نمونه‌ی بارزی از استفاده از تکنولوژی کامپوزیت‌ها در قرون گذشته بوده است.^[۲۵]

به منظور بهبود خواص مکانیکی و مقاومت در برابر هوازدگی، باید سطح تماش ذرات خاک افزایش باید، که بدین منظور باید حفره‌های خاک را به میزان کمینه رساند. خاک بدون حفره از لحاظ تثویری خاکی با ذرات کره‌ی شکل است، که درصد آن‌ها تابع فرمول فولر (رابطه‌ی ۳) باشد:^[۲۶]

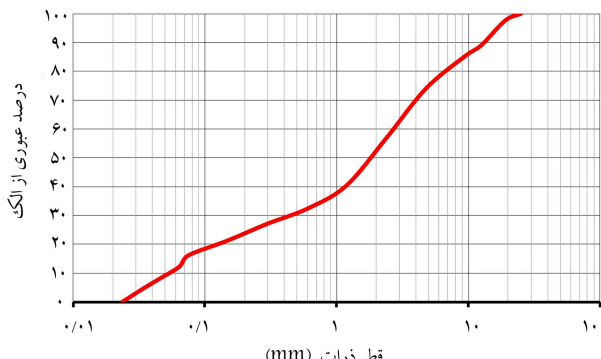
$$p = ۱۰۰ \cdot (d/D)^n \quad (3)$$

که در آن، p نسبت دانه به قطر، d قطر دانه برای یک مقدار معین از D بزرگ‌ترین قطر دانه، و n ضریب درجه‌بندی است. وقتی که دانه‌ها کاملاً کروی باشند، مقدار n برابر ۵ است.

mekanizm‌های مختلفی برای شکست دیوارهای خشتی وجود دارد. یکی از ضعف‌های دیوارهای مصالح بنایی و دیوارهای خشتی در برابر بارهای جانبی، ملات آن است. در این نوشتار سعی شده است که مقایسه‌ی بین رفتار ملات گل و کاه‌گل که به صورت متداول در ایران و کشورهای دیگر است که در میان کمینه شدن، بدین منظور رفتار دیوارهای خشتی با دو نوع ملات تحت فشار قدری مورد بررسی قرار گرفته است. در یکی از ملات‌ها از خاک رس و ماسه و در ملات دیگر علاوه بر مصالح نام برده شده، از درصد‌های مختلفی از کاه (که ماده‌ی طبیعی، ارزان، سازگار با محیط زیست و در دسترس) نیز به عنوان تقویت‌کننده‌ی ملات استفاده شده است. با توجه به اینکه در ساختمان‌های خشتی، آسیب عمده در ملات رخ داده، لازم

جدول ۴. درصد مصالح استفاده شده در خشت.

حاک رس (%)	ماسه (%)	شن (%)	آب (%)
۱۳	۶	۴۸	۲۳



شکل ۲. نمودار دانه‌بندی مصالح مورد استفاده در خشت.

۲. مشخصات خشت

برای رعایت اصول دیوار چینی از خشت ($22 \times 22 \times 7\text{ cm}$) و نیم خشت ($22 \times 11 \times 7\text{ cm}$) استفاده شده است. درصد های مصالح استفاده شده برای ساخت خشت در جدول ۴ ارائه شده است.

نمودار دانه‌بندی مصالح مورد استفاده در خشت، در شکل ۲ نشان داده شده است.

مقاومت فشاری هر یک از خشت‌ها تحت آزمایش فشاری با استفاده از نیروسنج و تغییر مکان سنج اندازه‌گیری شده است. برای بارگذاری از استاندارد شماره‌ی ۷ ایران استفاده شده است.^[۲۴] در استاندارد مذکور، سرعت بارگذاری مشخص نشده و سرعت بارگذاری با استفاده از سرعت پیشنهادی توسط ASTM A۳۶۷ مشخص شده است.^[۲۵] عدد از هر کدام از ابعاد خشت و نیم خشت مورد آزمایش قرار گرفته‌اند. مقاومت فشاری متوسط نمونه‌های با ابعاد $22 \times 22 \times 7\text{ cm}$ (خشت)، برابر با $۴,۳۷$ مگاپاسکال و مقاومت فشاری متوسط نمونه‌های با ابعاد $11 \times 22 \times 7\text{ cm}$ (نیمه خشت)، برابر با $۳,۲۹$ مگاپاسکال تعیین شده است. نتایج مقاومت فشاری نمونه‌های آزمایش شده برای مقاومت فشاری نیم خشت و خشت به ترتیب با ابعاد $7 \times 11 \times 22$ سانتی‌متر و $7 \times 22 \times 22$ سانتی‌متر در جدول‌های ۵ و ۵ ب نمایش داده شده است. مقاومت فشاری خشت‌های با ابعاد $7 \times 11 \times 22$ سانتی‌متر کمتر از مقاومت فشاری خشت‌های با ابعاد $7 \times 22 \times 22$ سانتی‌متر است، که یکی از دلایل آن سطح توزیع تنش کمتر و متفاوت بودن شکل مستطیلی نمونه‌های نیم خشت و شکل مربعی نمونه‌های خشتی است.

انحراف معیار و خطای در آزمایش فشاری برای نمونه‌های نیم خشت به ترتیب $۰,۰۵۷$ و $۰,۰۲۵$ و برای نمونه‌های خشتی به ترتیب $۰,۰۵۸$ و $۰,۰۲۷$ به دست آمده است.

۳. مشخصات ملات

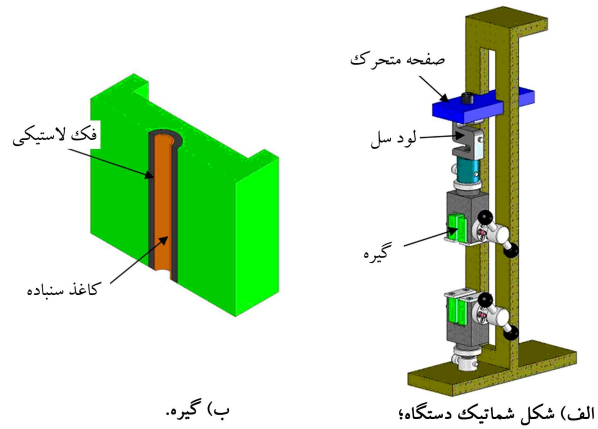
برای ساختن ملات گل، آخره می‌بندند و در آن آب می‌اندازند و صیر می‌کنند تا بولک‌های خاک رس آب را بمکنند، پس از آن ملات را خوب ورز می‌دهند و به مصرف می‌رسانند. چون ملات گل پس از خشک شدن جمع می‌شود و از خورد، به آن کاه می‌زنند، که آن را مسلح می‌کنند و از تک خوردن آن جلوگیری می‌کنند. ۶ نوع

جدول ۲. مشخصات سنگ‌دانه.

پارامتر	واحد	نوع سنگ‌دانه.
ماسه	شن	(gr)
۴۹۴,۴۴	۴۹۳,۶۶	W_d
۵۰۵,۴۲	۵۱۱,۷۲۸	W_{SSD}
۲۰۰	۲۷۰	(C.C)
۲,۴۷	۱,۸۳	G_S
۲,۲۲	۳,۶۶	%
		W_{SSD}

جدول ۳. مشخصات کاه.

پارامتر	واحد	مقدار
طول	(mm)	۴۰ – ۱۰
قطر	(mm)	۴ – ۱
وزن مخصوص	(KN/m ^۳)	۰,۱۲
مقاومت کششی	(MPa)	۵۰ – ۳۸
دانسیتیه		۲,۰۵



الف) شکل شماتیک دستگاه؛
ب) گیره.

شکل ۱. دستگاه اندازه‌گیری استحکام کششی.

از دستگاه کششی که مقاومت کششی الیاف را در صنایع چوب اندازه‌گیری می‌کند، استفاده شده و برای آماده‌سازی نمونه و قراردادن نمونه در زیر دستگاه در دو طرف کاه، که در زیر فک دستگاه قرار می‌گیرد، دو عدد چوب به اندازه‌ی فک دستگاه بریده شده است، که کاه بین دو عدد چوب با چسب چوب قرار گیرد و از زیر گیره‌های دستگاه سُر نخورد. اندازه‌گیری استحکام کششی در یک ماشین آزمون مواد در محدوده‌ی کنشی نسبتاً پایینی صورت گرفته است. روش‌های بهکار رفته در این پژوهش مشابه روش‌هایی است که در مطالعات پیشین استفاده شده است.^[۲۶, ۲۷] به دلیل طبیعت شکننده‌ی ساقه‌های علوفه، اندازه‌گیری استحکام کششی آنها کار مشکلی است، زیرا این امر باعث گسیختگی دو انتهای نمونه در داخل گیره‌ها هنگام اعمال نیرو می‌شود.^[۲۸]

یک دستگاه مکانیکی شامل دو گیره، طراحی و ساخته شده است. گیره‌ها توانایی ثابت نگهداری ساقه را دارند و شامل فک لاستیکی و کاغذ سمباده هستند، که کاغذ سمباده بین ساقه و فک لاستیکی قرار می‌گیرد (شکل ۱). نمونه بعد از قرار داده شدن بین گیره‌ها با استفاده از یک دستگاه آزمون فشار - کشش اختصاصی تحت کشش قرار می‌گیرد.^[۲۹]

جدول ۷. نتایج مقاومت فشاری میانگین انواع ملات.

خطا	انحراف معیار	مقاومت فشاری میانگین (MPa)	نوع ملات
۰,۰۳	۰,۲۲	۳,۰۸	معمولی
۰,۰۵	۰,۲۷	۲,۶۲	٪ کاه ۰,۴
۰,۰۲	۰,۱۵	۲,۲۶	٪ کاه ۰,۶
۰,۰۱	۰,۱۳	۱,۹۱	٪ کاه ۰,۸ مسلح شده با
۰,۰۱	۰,۱۴	۱,۵۵	٪ کاه ۱
۰,۰۰۷	۰,۱	۱,۲۱	٪ کاه ۱/۲

جدول ۸. نتایج مقاومت خمثی میانگین ملات.

خطا	انحراف معیار	مقاومت فشاری میانگین (MPa)	نوع ملات
۰,۰۱	۰,۱۳	۱,۷۳	معمولی
۰,۰۲	۰,۱۸	۱,۱۱	٪ کاه ۰,۴
۰,۰۰۸	۰,۱۱	۰,۹۷	٪ کاه ۰,۶
۰,۰۰۲	۰,۰۶	۰,۸۲	٪ کاه ۰,۸ مسلح شده با
۰,۰۰۷	۰,۱	۰,۶۹	٪ کاه ۱
۰,۰۰۲	۰,۰۵	۰,۵۵	٪ کاه ۱/۲

همان طور که در نتایج مشاهده می شود، در ابعاد مورد آزمایش، کاه عملکرد خوبی از خود نشان نداده و با افزودن کاه مقاومت خمثی کاهش یافته است. هر چه ابعاد نمونه ها افزایش پیدا کند، کاه در مقاومت فشاری و کششی تأثیر بیشتری از خود نشان می دهد و باعث افزایش مقاومت فشاری و کششی می شود. این نتایج در پژوهشی در سال ۱۱، ۲۰ [۲۷] نیز مشاهده شده است.

۳. نحوه انجام آزمایش

۱۲ نمونه با ابعاد $۲۲ \times ۱۲۰ \times ۱۲۰$ سانتی متر ساخته شده و ملات ۲ تا از دیوارها ساده و ملات دیگر دیوارها کاهگل (با درصد های متفاوت) بوده است. خشت های استفاده شده در هر نوع دیوار یکسان بوده است. نمونه دیوارهای خشتی ساخته شده بعد از ۲۸ روز مورد آزمایش قرار گرفته است. برای جلوگیری از آسیب دیدن نمونه ها قبل از آزمایش، نمونه ها در نزدیکی محل آزمایش ساخته و اطراف دیوارها چوب قرار داده شده، سپس درون قاب فلزی پیچ و مهره بی جایگذاری شده و جایه جایی توسط جرقیل، همراه با قاب صورت گرفته است؛ و پس از قرار گرفتن در زیر جک، به آرامی قاب فلزی و قطعات چوبی برداشته شده اند (شکل ۳). نحوه انجام این آزمایش براساس ASTM E51۹ است. [۲۸] برای توزیع بهتر نیروی فشاری و خردنشدن گوشش ها تحت بار متوجه در قسمت بالا و پایین دیوار، قطعات چوبی قرار داده شده است. [۲۷] سپس در بالای دیوار و در زیر جک هیدرولیکی، نیروسنج قرار داده شده است. برای اندازه گیری تغییر مکان دیوار در دو راستای قطر، تغییر مکان سنج نصب شده است. شکل های ۳ و ۴ مشخصات دیوار را قبل از شروع آزمایش نشان می دهند. تمامی دیوارها در شرایط یکسانی بارگذاری شده اند. سرعت بارگذاری در تمامی آزمایش های یکسان بوده است.

جدول ۵(الف) مقاومت فشاری نیم خشت.

P = F/A (MPa)	F (KN)	A (mm ^۲)	ردیف
۲,۸۷	۷۰,۰۴	۲۴۴۲۰	۱
۳,۹۵	۹۴,۳	۲۳۸۷۱	۲
۲,۶۱	۶۱,۷۵	۲۳۶۵۲	۳
۳,۳۰	۸۰,۵	۲۴۴۲۰	۴
۳,۷۴	۹۰,۸	۲۴۴۱۰	۵
$۳,۲۹ \pm ۰,۵۷$			

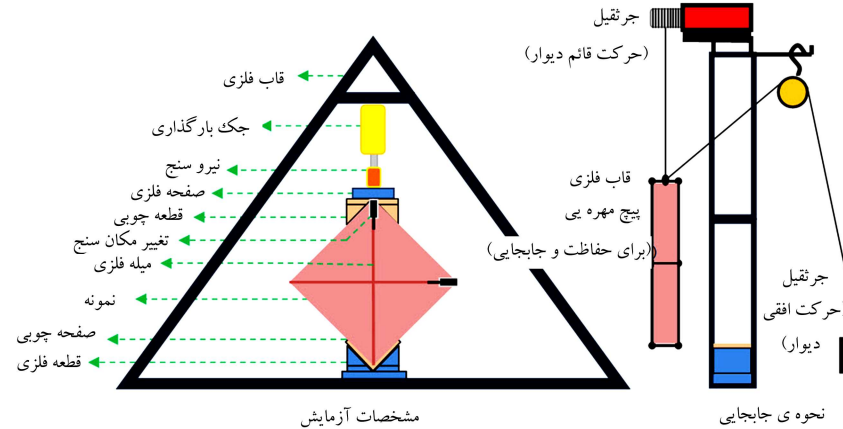
جدول ۵(ب) مقاومت فشاری خشت.

P = F/A (MPa)	F (KN)	سطح بار برابر			ردیف
		A (mm ^۲)	b (mm)	I (mm)	
۳,۹۱	۱۸۸,۲	۴۸۱۸۰	۲۱۹	۲۲۰	۱
۵,۳۸	۲۵۵,۸	۴۷۵۲۴	۲۱۸	۲۱۸	۲
۴,۰۷	۱۹۶,۱	۴۸۱۸۰	۲۲۰	۲۱۹	۳
۴,۱۶	۲۰۰,۲	۴۸۱۸۰	۲۱۹	۲۲۰	۴
۴,۳۳	۲۱۰,۵	۴۸۱۸۰	۲۲۰	۲۲۱	۵
$۴,۳۷ \pm ۰,۵۸$					

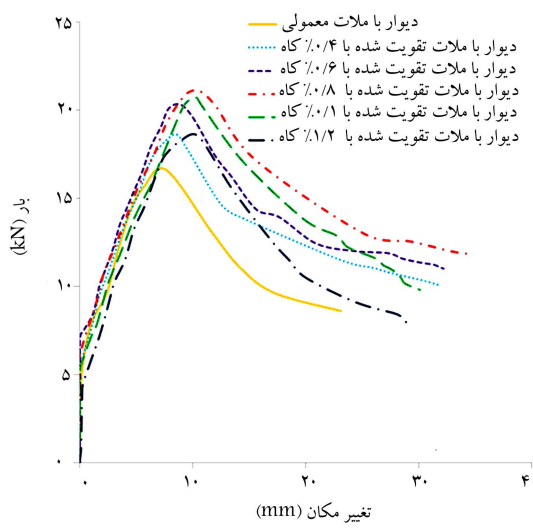
جدول ۶. درصد وزنی مصالح استفاده شده در ملات.

نوع ملات	رس (%)	masse (%)	آب (%)	کاه (%)
معمولی	۶۴,۵	۱۶,۱	۱۹,۴	--
	۶۴,۲۴	۱۶,۰۴	۱۹,۳۲	۰,۴
	۶۴,۱۱	۱۶,۰۰	۱۹,۲۸	۰,۶
مسلح شده	۶۳,۹۸	۱۵,۹۷	۱۹,۲۵	۰,۸
	۶۳,۸۶	۱۵,۹۴	۱۹,۲۱	۱
	۶۳,۷۳	۱۵,۹۱	۱۹,۱۷	۱,۲

ملات، که مشخصات آن ها در جدول ۶ ارائه شده است، مورد آزمایش قرار گرفته اند و درصد های مصالح مورد استفاده در ملات، در جدول مذکور ارائه شده است. الیاف کاه اشباع سطح خشک به ترتیب اضافه شده اند. و از استاندارد ASTM C۹۵۲ برای انجام این آزمایش استفاده شده است. [۲۶] ملات های ساخت شده در قالب های $۵ \times ۵ \times ۵$ سانتی متری ریخته شده اند و پس از تراکم به مدت ۲۴ ساعت در شرایط آزمایشگاهی در قالب باقی مانده اند و سپس از قالب خارج شده اند. پس از ۲۸ روز، که در شرایط محیطی مورد نظر عمل آمده اند، زیر دستگاه پرس قرار داده شده و مقاومت فشاری آن ها تعیین شده است. برای هر نوع ملات، ۳ نمونه برای تعیین مقاومت فشاری ساخته شده است. نتایج میانگین مقاومت فشاری در جدول ۷ ارائه شده است. برای آزمایش خمثی، ملات های ساخته شده در قالب های $۱۶ \times ۴ \times ۴$ cm ریخته شده، به مدت ۲۴ ساعت در شرایط آزمایشگاهی در قالب باقی مانده، و سپس از قالب خارج شده اند. پس از ۲۸ روز، که در شرایط محیطی مورد نظر عمل آمده اند، با دستگاه مخصوص آزمایش مقاومت خمثی، شکسته و مقاومت آن ها تعیین شده است. نتایج مقاومت فشاری میانگین ملات در جدول ۸ ارائه شده است.



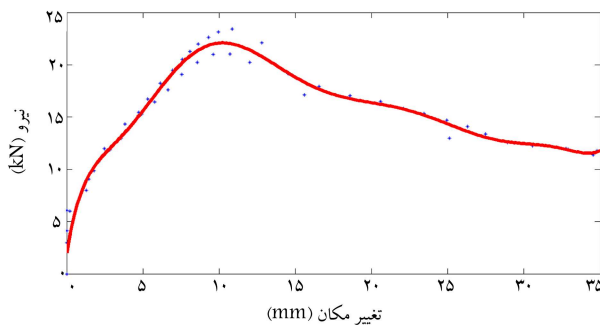
شکل ۳. جزئیات انجام آزمایش.



شکل ۵. میانگین نمودار بار - تغییرمکان دیوارهای خشتشی.



شکل ۴. آماده‌سازی دیوار قبل از آزمون.



شکل ۶. نومدار دیوار تقویت شده با ۰/۸ کاه.

نمودار جذب انرژی - تغییرمکان دیوارهای خشتشی، که جذب انرژی به عنوان تابعی از تغییرمکان است، در شکل ۷ نمایش داده است. در شکل ۸، نومدار مقایسه‌ی بین جذب انرژی نهایی دیوار خشتشی با ملات ساده و با ملات کاهگل نشان داده شده است. جذب انرژی نهایی دیوار خشتشی با ملات ساده ۱۶/۱۶ kN.mm و دیوار خشتشی با ملات کاهگل برابر ۱۶/۲۶ kN.mm بوده است. همان‌طور که از نمودارها مشخص است، جذب انرژی دیوارهای مسلح شده با ملات کاهگل بیشتر از دیوارهای

۴. مقایسه‌ی نتایج

منحنی بار - تغییرمکان به صورت میانگین برای دیوارهای خشتشی در شکل ۵ نشان داده شده است. برای بدست آوردن نومدار دیوارها، از درون‌بابی خطی داده‌های دیوارها توسط نرم افزار متلب استفاده شده است. از داده‌های هر دو دیوار آزمایش شده، برای رسم نومدار دیوار موردنظر استفاده شده است. در شکل ۶، نومدار بدست آمده از درون‌بابی خطی برای دیوار با ملات تقویت شده با ۰/۸ کاه نمایش داده شده است.

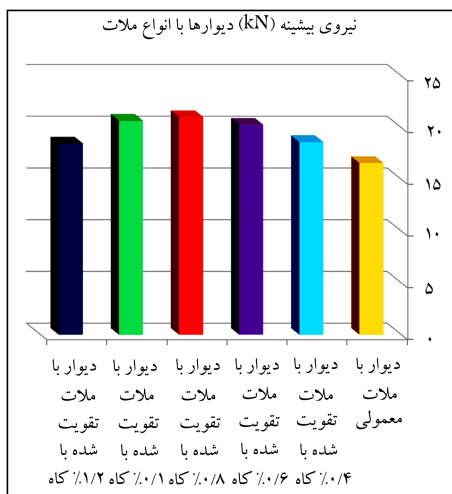
مقدار بار بیشینه‌ی دیوار خشتشی با ملات ساده و ملات کاهگل با ۰/۸٪ به ترتیب برابر با ۱۶/۶ kN و ۲۱/۰۵ kN بوده است. با توجه به نیروی بیشینه‌ی دیوار خشتشی ساده و ملات کاهگل مشاهده می‌شود که دیوار با ملات کاهگل به اندازه ۷۸/۰٪ نیروی بیشتری نسبت به دیوار ساده تحمل کرده است.

در نمونه‌های تقویت شده با الیاف، آفت پس از نقطه‌ی اوج کمتر است و رفتار شکنندگی شن و ماسه تا حدودی انعطاف‌پذیرتر شده است، در پژوهشی در سال ۲۰۰۲^[۲۹] نیز این نکته مورد توجه قرار گرفته است.

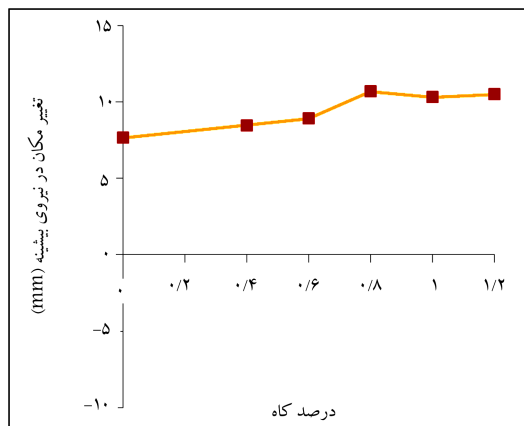
عملکرد خوب الیاف در زمانی است که ترک‌ها بزرگ می‌شوند و الیاف از نمونه بیرون می‌زنند و مانند پلی دو قطعه‌ی نمونه را به یکدیگر متصل نگه می‌دارد.^[۳۰]

جدول ۹. میانگین نتایج آزمایش دیوار خشندی با انواع ملات.

نمونه	نیروی بیشینه (KN)	تغییر مکان نیروی بیشینه (mm)
دیوار با ملات معمولی	۱۶/۶	۷/۶۵
دیوار با ملات مسلح شده با ۴٪ کاه	۱۸/۶۳	۸/۴۷
دیوار با ملات مسلح شده با ۶٪ کاه	۲۰/۳	۸/۹۲
دیوار با ملات مسلح شده با ۸٪ کاه	۲۱/۰۵	۱۰/۷
دیوار با ملات مسلح شده با ۱۰٪ کاه	۲۰/۷	۱۰/۳۲
دیوار با ملات مسلح شده با ۱۲٪ کاه	۱۸/۵	۱۰/۵



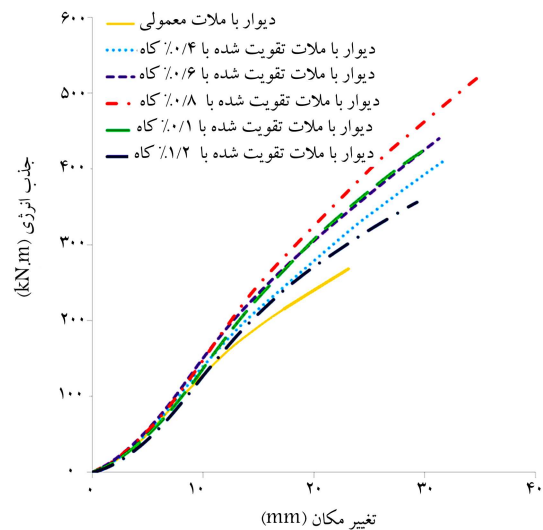
شکل ۹. نمودار مقایسه‌بی نیروی بیشینه‌ی دیوارهای خشندی.



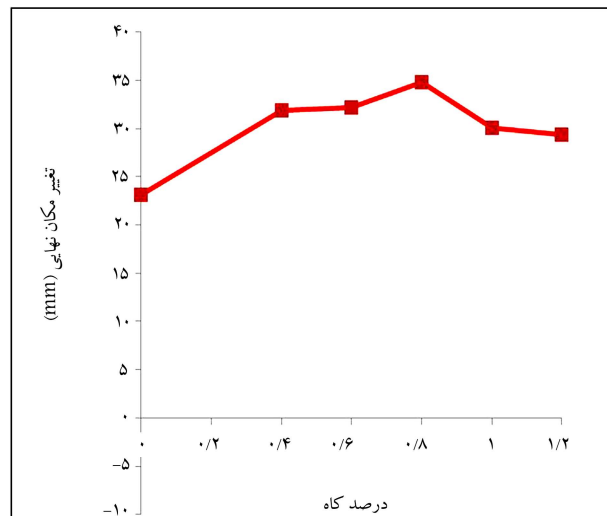
شکل ۱۰. نمودار مقایسه‌بی تغییر مکان در نیروی بیشینه‌ی دیوارها.

جدول ۱۰. میانگین نتایج آزمایش دیوار خشندی با ملات ساده و کاهگل.

نمونه	سختی	ضریب	تنش کششی	نیروی بیشینه (MPa)
دیوار با ملات معمولی	۲۱۶۹.۶۵	۲.۰۲	۰/۰۴۳	۰/۰۴۳
دیوار با ملات مسلح شده با ۴٪ کاه	۲۱۹۸.۲	۳.۷۶	۰/۰۵	۰/۰۵
دیوار با ملات مسلح شده با ۶٪ کاه	۲۲۷۶.۲۳	۳.۶۱	۰/۰۵۷	۰/۰۵۷
دیوار با ملات مسلح شده با ۸٪ کاه	۱۹۶۶.۰۹	۳.۲۵	۰/۰۵۹	۰/۰۵۹
دیوار با ملات مسلح شده با ۱۰٪ کاه	۲۰۰۵.۸۱	۲.۹۲	۰/۰۵۸	۰/۰۵۸
دیوار با ملات مسلح شده با ۱۲٪ کاه	۱۷۶۱.۹	۲.۷۹	۰/۰۵	۰/۰۵



شکل ۷. نمودار جذب انرژی - تغییر مکان دیوارهای خشندی.

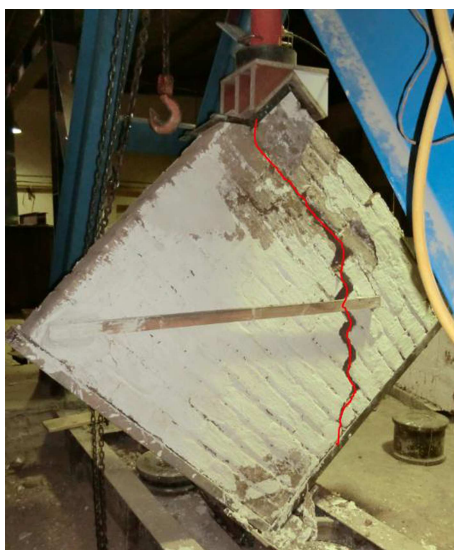


شکل ۸. نمودار جذب انرژی تجمعی دیوارهای خشندی.

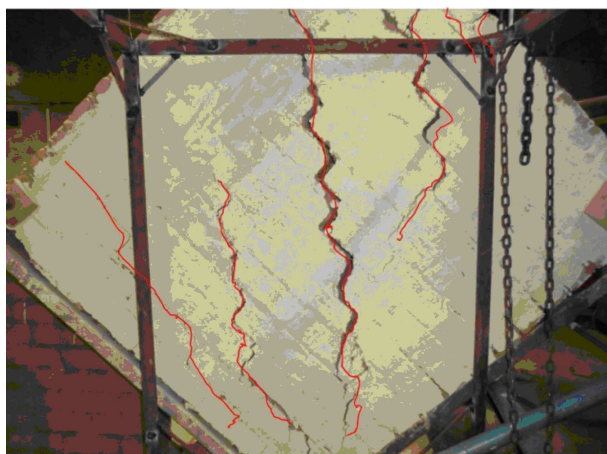
معمولی است. دیوار خشندی با ملات کاهگل به اندازه‌ی ۰/۰۴ کاه ۹۴٪ جذب انرژی بیشتری نسبت به دیوار با ملات ساده از خود نشان داده است. حضور الیاف تغییر قابل ملاحظه‌ی در پاسخ کشسان و مقاومت اوایله تا رسیدن به ترک ایجاد نکرده است، ولی در مقابل تا حد زیادی، مقاومت پس از ترک اوایله، شکل پذیری و انرژی جذب شده‌ی نمونه‌های با الیاف بهبود یافته است، که این نتایج با تحقیقات قبلی [۴] نیز همخوانی دارد. در جدول ۹، میانگین نتایج آزمایش دیوار خشندی با گل و کاهگل نمایش داده شده است. در شکل ۹، نیروی بیشینه‌یی که دیوارهای خشندی تحمل کرده‌اند، با هم مقایسه شده است. مطابق شکل مذکور، دیوارهای با ملات مسلح شده با کاه، نیروی بیشتری نسبت به دیوار معمولی تحمل کرده‌اند. دیوارهای مسلح بین ۱۱/۴۵ تا ۲۶/۷۸ درصد نسبت به دیوار با ملات معمولی نیروی بیشتری را تحمل کرده‌اند. در شکل ۱۰، نیروی بیشینه‌یی دیوارهای آزمایش شده با هم مقایسه شده است. مطابق شکل مذکور، تغییر مکان دیواری که در ملات آن از ۰/۰۸ کاه برای تقویت استفاده شده است، در نیروی بیشینه، بیشترین تغییر مکان را داشته است. نتایج نهایی دیوارهای خشندی به صورت میانگین در جدول ۱۰ آرائه شده است.

همان طور که در نمودارها مشاهده می شود، رفتار هر دو دیوار در قسمت کششی یکسان است. بنابر قانون موهر - کلمب رفتار برشی وابسته به دو پارامتر چسبینگی و اصطکاک است. در ملات ۵٪، ماسه باعث اصطکاک و رس باعث چسبینگی ملات شده است. با افزودن کاه به ملات همان طور که در نتایج مشخص شده است، افزودنی کاه در نمودارها تا قسمتی باعث افزایش نیروی بیشینه، تغییر مکان بیشینه، تغییر مکان نهایی و جذب انرژی شده است، ولی با افزودن بیشتر باعث کاهش آنها شده است، که این می تواند به این دلیل باشد که افزودن کاه تا مقدار مشخصی، باعث یک پارچه ترشدن ملات و مسلح شدن آن شده است، ولی با افزودن بیشتر با نقش تداخل در اصطکاک ماسه و چسبینگی رس، باعث کاهش خواص مکانیکی شده است.

همان طور که در شکل های ۱۳ الی ۱۵ مشاهده می شود، با افزودن کاه به ملات، یک ترک عمیق به چند ترک تبدیل شده و از طرفی ترتیب ایجاد ترک ها ابتدا در ناحیه قطر فشاری است و پس از ضعیف شدن قطر فشاری به دلیل عملکرد خوب ملات نه فقط دیوار فرو نریخته است، بلکه در اطراف قطر فشاری، قطرهایی مجازی



شکل ۱۳. ترک های ایجاد شده در دیوار خشتشی با ملات ساده پس از آزمایش کششی قطری.



شکل ۱۴. ترک های ایجاد شده در دیوار خشتشی با ملات مسلح شده با ۸٪ کاه پس از آزمایش کشش قطری.

در شکل ۱۱، تنش کششی دیوارهای آزمایش شده نمایش داده شده است. مقایسه دیوارها مشاهده می شود که دیوار با ۰٪ کاه بیشترین مقدار تنش کششی را در بین دیوارهای آزمایش شده تحمل کرده است. همان طور

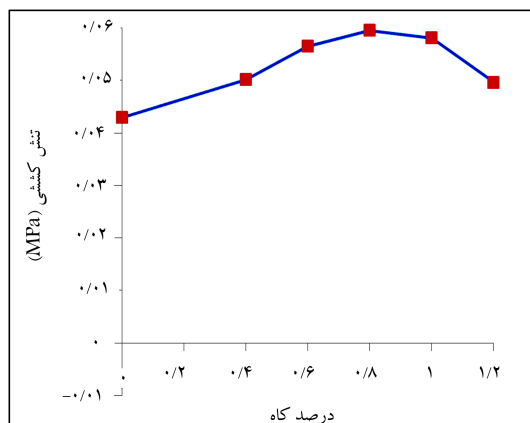
پس از شکست دیوارها، ملات دیوارها با یکدیگر مقایسه شده است. همان طور که در شکل ۱۲ مشاهده می شود، ملات معمولی تردد است و پس از شکست، از روی بلوک جدا و به ذراتی ریزتر از ۲ تا ۸ سانتی متر تبدیل شده است؛ اما در ملات های کاهگل، ملات یک پارچه است و به راحتی از بلوک جدا نشده است، که این می تواند اولاً بدلیل نقش کاه در اتصال اجزاء ملات به یکدیگر و ثانیاً به دلیل خشک شدن متعادل تر و انقباض کمتر در خشک شدن ملات در دیوارهای با ملات مسلح باشد.

در آزمایش کشش قطری در همه نمونه ها، شکست دیوار از ملات رخ داده است، که نشان دهنده این است که ملات ضعیف ترین قسمت دیوارهای خشتشی است. در دیوار با ملات ساده، ترک در راستای ضعیف ترین ملات ایجاد شده است (شکل ۱۳). ترک های ایجاد شده در دیوار با ملات کاهگل در شکل ۱۴ ارائه شده است. نمونه های با ملات مسلح شده با کاه عملکرد بهتری داشته اند و ترک های بیشتر و با عمق کمتر در دیوار ایجاد شده است.

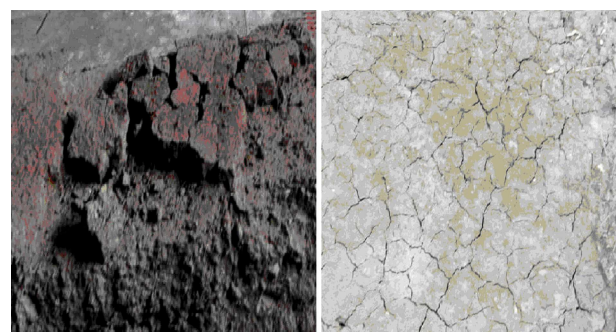
با توجه به آزمایش های انجام شده در نمونه های با ملات مسلح شده با الیاف کاه، این دو فرایند انجام شده است:

۱. هنگام خشک شدن، کاه از انقباض ملات جلوگیری کرده و ترک های ریزتر و بیشتر ایجاد شده است.

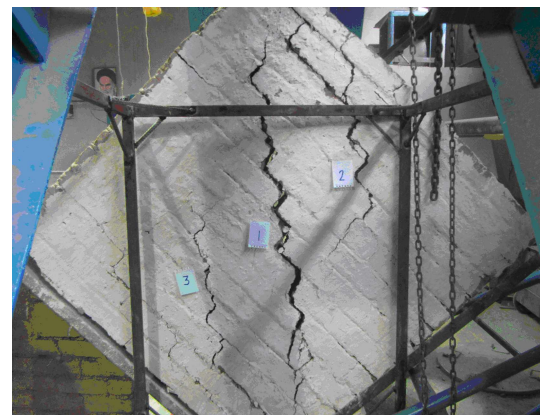
۲. در هنگام بارگذاری با اتصال نواحی مختلف، ملات از بازشدن ترک ها جلوگیری کرده است.



شکل ۱۱. تنش کشش دیوارهای خشتشی.



شکل ۱۲. مقایسه عملکرد ملات به کار رفته.



شکل ۱۵. ترک های ایجاد شده در دیوار خشتی با ملات مسلح شده با ۸٪ کاه پس از آزمایش کشش قطعی به ترتیب ایجاد ترک.

- پس از خشک شدن ملات، ترک هایی به علت تبخیر آب و انقباض خاک بر روی ملات ایجاد شده است.
- در اثر بارگذاری دیوار، خرابی و شکست دیوار در مرز بین آجرهای خشتی و ملات مشاهده شده است، که نشان دهنده این است که یکی از ضعف های دیوارهای خشتی در محل اتصال بلوک های خشتی با ملات است.
- میانگین تنش کششی دیوار معمولی 43 MPa و 40 MPa به دست آمده است. در دیوارهای با ملات مسلح شده با کاه، این موارد رخ داده است:
- پس از خشک شدن، ترک های بسیار کمتری از دیوار معمولی مشاهده شده و در صورت وجود نیز بسیار ریزتر بوده است.
- در هنگام بارگذاری به جای یک ترک عمیق چند ترک به وجود آمده است.
- تغییر مکان بیشینه، نیروی بیشینه و تغییر مکان نهایی برای همه نمونه های با ملات مسلح شده با کاه بیشتر از دیوار معمولی بوده است.
- در دیوارهایی که ملات آن با کاه مسلح شده بود، بعد از شکست دیوار، ملات داخل دیوار ترک های کمتری داشته است، که یکی از دلایل آن وجود کاه در ملات است، که با جذب آب و پس دادن آن به ملات به صورت تدریجی مانند یک عایق عمل کرده و مانع از انقباض ملات شده است. با یک پارچه شدن ملات مسلح به علت کاهش ترک ها باعث عملکرد بهتری در ملات شده است.
- افزودن کاه تا ۸٪ در ملات باعث بهبود خواص مکانیکی ملات و در نتیجه دیوار شده است، ولی با افزودن بیشتر کاه افزایشی مشاهده نشده است، بلکه در برخی موارد کاهش نیز اتفاق افتاده است.
- دیوارهای مسلح بین ۱۱٪ و ۲۶٪ درصد نسبت به دیوار با ملات معمولی نیروی بیشتری را تحمل کرده اند.
- تنش کششی دیوار با ملات مسلح شده با ۸٪ کاه، 21.05 kN/m^2 به دست آمده است، که 27% بیشتر از دیوار با ملات معمولی نیرو وارد شده است. در نتیجه می توان با استفاده از کاه در ملات دیوار خشتی باعث بهبود خواص مکانیکی آن شد و حتی در صورت داشتن امکانات آزمایشگاهی با توجه به خاک منطقه، بهترین درصد کاه را نیز برای آن خاک تعیین کرد.

منابع (References)

1. Mirzgar Langroodi, M.M., Mirzgar Langroodi, S.S. and Rajabi Kanaf Gurabi, A. "Resistant of adobe building against earthquake", *The National Conference on Retrofitting of Iran*, Yazd, Yazd University (2008).
2. Turanli, L. and Erdogan, T.Y. "Improving the mechanical properties of adobe blocks used in low-cost rural housing", 14th IAHS World Housing Congress, Ankara, Turkey (1996).
3. Revuelta-Acosta, J.D., Garcia-Diaz, A., Soto-Zarazua, G.M. and Rico-Garcia, E. "Adobe as a sustainable material: A thermal performance", *J. Appl. Sci.*, **10**(19), pp. 2211-2216 (2010).

4. Binici, H., Aksogan, O., Bakbak, D., Kaplan, H. and Isik, B. "Sound insulation of fiber reinforced mud brick walls", *Construct Build Materials*, **23**(2), pp. 1035-1041 (2009).
5. Tolles, E.L. and Krawinkler, H., *Seismic Studies on Small-Scale Models on Adobe Houses*, Stanford, The John A. Blume Earthquake Engineering Center (1990).
6. Blondet, M., Garcia, G.V. and Brzev, S., *Earthquake-Resistant Construction of Adobe Buildings: A Tutorial*, EERI (Earthquake Engineering Research Institute), IAEE World Housing Encyclopedia, (2003). www.worldhousing.net,
7. Turanli, L. and Saritas, A. "Strengthening the structural behavior of adobe walls through the use of plaster rein-

- forcement mesh”, *Construction and Building Materials*, **25**(4), pp. 1747-1752 (2011).
- Vatani Oskouei, A., Afzali, M. and Madadipour, M.R. “Effect of lime and rice husk ash stabilization and compaction on mud brick reinforced with synthetic fibers”, Structural Analysis of Historical Constructions – Jerzy Jasieńko (ed) DWE, Poland, ISSN 0860-2395, ISBN 978-83-7125-216-7 (2012).
- Vatani Oskouei, A., Afzali, M. and Madadipour, M.R. “Effect of some natural additives on the mechanical properties of mud brick”, Structural Analysis of Historical Constructions – Jerzy Jasieńko (ed) DWE, Poland, ISBN 978-83-7125-216-7 (2012).
- Vatani Oskouei, A., Madadipour, M.R. and Afzali, M. “Effect of some synthetic fibers on the mechanical properties of mud brick”, Structural Analysis of Historical Constructions – Jerzy Jasieńko (ed) DWE, Poland, ISBN 978-83-7125-216-7 (2012).
- Yetgin, S., Cavdar, O. and Cavdar, A. “The effects of the fiber contents on the mechanic properties of the adobes”, *Construct Build Materials*, **22**(3), pp. 222-227 (2008).
- Gomes, I.M., Lopes, M. and de Brito, J. “Seismic resistance of earth construction in Portugal”, *Engineering Structures*, **33**(3), pp. 932-941 (2010).
- Dowling, D. “Improved adobe mudbrick in application - child- care center construction in El Salvador”, *13th World Conference on Earthquake Engineering*, Vancouver, B.C., Canada (March 2003).
- Shedid, M.T., Drysdale, R.G. and El-Dakhakhni, W.W. “Behavior of fully grouted reinforced concrete masonry shear walls failing in flexure: Experimental results”, *Journal of Structural Engineering*, **134**(11), pp. 1754-1767 (2008).
- Dehghan Banadaki, A., Ghannad, M.A., Bakhshi, A. and Lotfalipour, M. “A numerical study on seismic behavior of a typical rural house of Iran”, *The 14th World Conference on Earthquake Engineering*, Beijing, China (12-17 October 2008).
- Zomarshidy, H., *Iranian Architecture Building with Traditional Materials*, Zomar Publications, Tehran, 80 p. (2006).
- Maniatidis, V. and Walker P. *A Review of Rammed Earth Construction, for DTi Partners in Innovation Project, Developing Rammed Earth for UK Housing*, Natural Building Technology Group Department of Architecture & Civil Engineering University of Bath (2003).
- ASTM, *Standard Test Method for Field Determination of Apparent Specific Gravity of Rock and Manmade Materials for Erosion Control*, ASTM D420-D5779, Vole. **04.08**, March Soil and Rock, PA, USA (2003).
- ASTM, *Standard Test Method for Total Evaporable Moisture Content of Aggregate by Drying*, ASTM C566-97, West Conshohocken, PA, USA (1997).
- Tayefi Nasrabadi, A.A. and Rashidi Mehrabad, M.H. “Methods of retrofitting brick masonry structures against earthquakes”, *Journal of Civil Engineering*, Islamic Azad University, **1**(2), pp.58-70, Iran (2008).
- O'Dogherty, M.J. “A review of research on forage chopping”, *J. Agric. Eng. Res.*, **27**(4), pp. 267-289 (1981).
- O'Dogherty, M.J., Hubert, J.A., Dyson, J. and Marshall, C.J. “A study of the physical and mechanical properties of wheat straw”, *J. Agric. Eng. Res.*, **62**(2), pp. 133-142 (1995).
- Nazari, M., Jafari, A., Tabatabaifar, A., Sharifi Malvajerd, A. and Tavakoli, H. “The effect of moisture content, fast loading and high areas on the tensile strength of alfalfa”, *5th National Conference on Agricultural Machinery Engineering*, Mechanisation Ferdowsi University of Mashhad (2008).
- Institute of Standards and Industrial Research of Iran, *Clay Brick - Specification and Test Methods*, ISIRI7, 4th Revision, Tehran, Iran (2009).
- ASTM, *American Standard Testing Material*, ASTM Standards on Masonry, Third Edition (1997).
- ASTM, *Standard Test Method for Bond Strength of Mortar to Masonry Units*, ASTM C952-02, Vole. **04.01** (2003).
- Quintilio, P., Quagliarini, E. and Lenci, S. “Experimental analysis and modelling of the mechanical behaviour of earthen bricks”, *Construction and Building Materials*, **25**(4), pp. 2067-2075 (2011).
- Standard American Society for Testing and Materials, *Standard test Method for Diagonal Tension (Shear) in Masonry Assemblages*, ASTM E519, USA (1999).
- Yetimoglu, T. and Salbas, O. “A study on shear strength of sands reinforced with randomly distributed discrete fibers”, *Geotextiles and Geomembranes*, **21**(2), pp. 103-110 (2002).
- Aymerich, F., Fenu, L. and Meloni, P. “Effect of reinforcing wool fibres on fracture and energy absorption properties of an earthen material”, *Construction and Building Materials*, **27**(1), pp. 66-72 (2011).